

УДК 537.311.331

**АВТОКОЛЕБАНИЯ И АВТОВОЛНЫ
ПРИ ВЗАИМОДЕЙСТВИИ МОД
В АКТИВНОМ БИСТАБИЛЬНОМ
ПОЛУПРОВОДНИКОВОМ РЕЗОНАТОРЕ**

Ю. И. Балкарей, В. Б. Сандомирский, А. В. Григорьянц, Ю. А. Ржанов

В двухмодовом приближении показано, что в оптически бистабильном полупроводниковом резонаторе возможны высокочастотные ($\omega \sim 10^9 \div 10^{10} \text{ с}^{-1}$) автоколебания концентрации свободных носителей заряда и оптических характеристик. Автоколебания возникают вследствие взаимодействия конкурирующих мод: моды, возбуждаемой внешней волной, и лазерной моды, генерируемой в полупроводнике, по отношению к которой первая мода играет роль оптической накачки. Учет амбиполярной диффузии частиц поперек направления распространения внешней волны приводит к возможности существования в системе бегущих концентрационно-оптических импульсов нейристорного типа. Аналогичные импульсы возможны в инъекционных лазерах с дополнительными зеркалами вдоль инъектирующего электрода.

1. В настоящее время известны два различных типа оптической бистабильности в полупроводниках — «пассивная» бистабильность, возбуждаемая внешним излучением, и «активная» бистабильность в полупроводниковых лазерах и лазерных усилителях. Сравнительный анализ обоих типов бистабильности содержится в [1]. В данной работе рассмотрена новая ситуация, когда в бистабильном полупроводниковом резонаторе возникает взаимодействие двух конкурирующих мод — моды, возбуждаемой внешним излучением, и лазерной моды, генерируемой в полупроводнике, по отношению к которой первая мода является оптической накачкой. Показано, что вследствие взаимодействия мод могут возникать высокочастотные ($\omega \sim 10^9 \div 10^{10} \text{ с}^{-1}$) автоколебания концентрации неравновесных носителей заряда в полупроводнике и связанные с ними пульсации лазерной генерации, а также колебания в пропускании и отражении резонатором внешнего излучения. Показано также, что в резонаторах, протяженных в поперечном относительно широкого луча накачки направлении, могут распространяться уединенные волны нейристорного типа, связанные с диффузией носителей тока. Поведение рассматриваемой системы качественно аналогично поведению пассивных бистабильных резонаторов с двумя конкурирующими механизмами нелинейности (концентрационным и тепловым), в которых наблюдалась относительно низкочастотные ($\omega \sim 10^5 \text{ с}^{-1}$) пульсации прошедшего излучения [2] и предсказано существование бегущих импульсов нейристорного типа [3]. В данной работе один механизм нелинейности — концентрационный, роль второго механизма играет лазерная генерация в полупроводнике.

2. Основным полупроводниковым пассивным бистабильным (мультистабильным) оптическим элементом является эталон Фабри—Перо, накачиваемый светом с энергией кванта $\hbar\omega \geq E_g$ (E_g — ширина запрещенной зоны полупроводника). Вследствие концентрационной нелинейности происходят резкие переключения пропускания и отражения эталона при изменении падающего интенсивного светового потока I_0 . Предположим теперь, что образец представляет собой параллелепипед, у которого две пары противоположных граней образуют два резонатора с осями z и x (рис. 1). Поток I_0 распространяется вдоль

оси z , его частота близка к частоте одной из мод колебаний вдоль оси z (будем называть эту моду основной). При включении потока I_0 , большего некоторого порогового, как обычно в пассивном бистабильном элементе, должен произойти переход из слабовозбужденного состояния в состояние с сильно возбужденной основной модой и большой неравновесной концентрацией N свободных носителей заряда. Если при этом создается достаточная инверсия населенности, то, как и в полупроводниковом лазере с оптической накачкой, в принципе возможно самовозбуждение одной или нескольких мод колебаний вдоль оси x (будем называть их неосновными). При этом возрастает темп излучательной рекомбинации, так как она становится стимулированной, и значение N может уменьшиться настолько, что резонатор по основной моде переключится в слабовозбужденное состояние. Произойдет дальнейшее уменьшение N и затухание неосновных мод, после чего процесс повторится. Таким образом, автоколебания могут возникать вследствие объединения свойств пассивного бистабильного элемента и лазера с оптической накачкой.

3. Проведем качественный анализ таких автоколебаний. Будем считать, что самовозбуждается единственная неосновная мода, причем ее поглощение

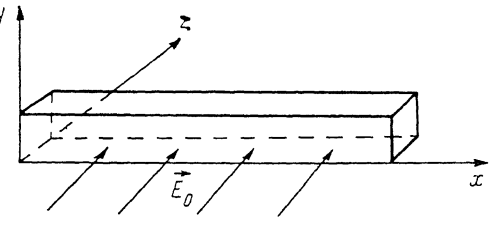


Рис. 1. Схематический вид рассматриваемой системы.

чай отличается следующим: 1) нет тока инжекции; 2) при его отсутствии существенной является оптическая накачка неравновесных носителей внешней волны; 3) при выбранной геометрии оказываются важны пространственные эффекты, связанные, например, с диффузией частиц вдоль оси x . С учетом сказанного модифицированная модель [4] может быть записана в виде

$$\frac{\partial E}{\partial t} = \frac{1}{2} (BN - \gamma_1) E - i(\Delta - \kappa N) E + vE_0, \quad (1a)$$

$$\frac{\partial N_\phi}{\partial t} = (BN - \gamma_2) N_\phi + \beta \frac{N}{\tau_r}, \quad (1b)$$

$$\frac{\partial N}{\partial t} = -\frac{N}{\tau_r} - BN(|E|^2 + N_\phi) + \alpha |E|^2 + D \frac{\partial^2 N}{\partial x^2}. \quad (1c)$$

Здесь E — комплексная амплитуда поля основной моды, отнормированная так, что $|E|^2$ дает плотность фотонов; N_ϕ — плотность фотонов в неосновной моде; N — концентрация неравновесных носителей заряда; E_0 — амплитуда внешней накачки; $v = c/2n_0d$ (где c — скорость света в вакууме, n_0 — темновой показатель преломления полупроводника, d — размер резонатора вдоль оси z); $\gamma_1, 2$ — коэффициенты затухания мод; B — коэффициент, характеризующий скорость вынужденных переходов; τ_r — время спонтанной излучательной рекомбинации; α — коэффициент поглощения основной моды, умноженный на скорость света; β — доля спонтанной эмиссии в данную неосновную моду; Δ — разность частот основной моды равновесного резонатора и внешней накачки; κN — сдвиг частоты основной моды при накачке свободных носителей заряда; D — коэффициент амбиполярной диффузии. Полупроводник считается прямозонным, тонким по оси z по сравнению с длиной поглощения и диффузионной длиной $\mathcal{L}_N = (D\tau_r)^{1/2}$. Предполагается также, что $\mathcal{L}_d < \mathcal{L}_N$ ($\mathcal{L}_d = (\lambda l)^{1/2}$ — характерная дифракционная длина, λ — длина волны света, $l = 1/4\pi \cdot c\gamma_1^{-1}$ — длина пролета фотонов основной моды вдоль оси x за время жизни в резонаторе) и можно пренебречь самофокусировкой и дифракцией накачивающей волны. Электронейтральность, учтенная при записи уравнений

в полупроводнике мало по сравнению с поглощением основной моды вследствие существования значительного интервала между модами по частоте или, например, вследствие анизотропии поглощения материала. Воспользуемся популярной двухмодовой моделью, предложенной в [4] для описания автоколебаний в полупроводниковом инжекционном лазере в поле внешней волны. Наш слу-

жает

(1), оправдывается малостью времени максвелловской релаксации τ_m при характерных N по сравнению со всеми временными параметрами задачи.

Рассмотрим однородные стационарные решения системы (1). Из (1а) получаем для $|E|^2$

$$|E|^2 = \frac{(\nu E_0)^2}{1/4 \cdot (BN - \gamma_1)^2 + (\Delta - \alpha N)^2}, \quad (2)$$

уравнения (1б) и (1в) дают

$$N_\phi = \frac{\beta N \tau_r^{-1}}{\gamma_2 - BN}, \quad N_\phi = \frac{|E|^2 (\alpha - BN) - \tau_r^{-1} N}{BN}. \quad (3), (4)$$

В дальнейшем будем считать, что торцы резонатора, перпендикулярные оси x , имеют дополнительные отражающие покрытия и моды колебаний вдоль оси x более добротны, чем вдоль оси z , т. е. $\gamma_1 \gg \gamma_2$. Для всех параметров разности частоты примем следующую естественную иерархию неравенств:

$$\tau_r^{-1} \ll B\bar{N} \sim \gamma_2 \ll \gamma_1 \ll \Delta, \quad B\bar{N} \ll \alpha$$

(\bar{N} — стационарная концентрация). Конкретные значения параметров разумно выбрать такими: $\tau_r^{-1} \sim 10^9 \text{ с}^{-1}$, $\gamma_2 \sim 10^{10} \text{ с}^{-1}$, $\gamma_1 \sim 10^{11} \text{ с}^{-1}$, $B \sim 10^{-8} \text{ см}^3 \cdot \text{с}^{-1}$, $\bar{N} \sim 10^{18} \text{ см}^{-3}$, $\alpha \sim 10^{11} \text{ с}^{-1}$.

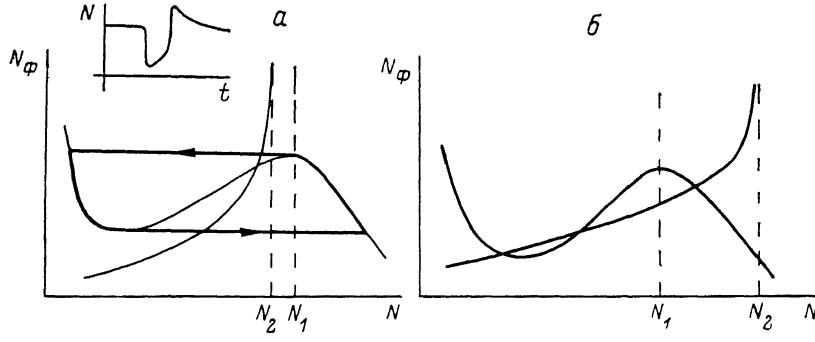


Рис. 2. Однородные стационарные решения уравнений (1) на фазовой плоскости (N , N_ϕ).
а — автоколебательный, б — триггерный случай.

Учитывая резонансный вид выражений (2) и (3), близость параметров Δ/α и γ_2/B и возможность их подгонки друг к другу (например, за счет изменения расстройки Δ) при достаточно большом значении поля E_0 , характерном для лазера с оптической накачкой вблизи края собственного поглощения данного материала, можно получить на фазовой плоскости (N , N_ϕ) картину, представленную на рис. 2, а, где $N_1 \sim \Delta/\delta$, $N_2 \sim \gamma_2/B$, $N_2 < N_1$. Другая возможность при $N_2 > N_1$ представлена на рис. 2, б. Последняя, триггерная, ситуация соответствует бистабильности (промежуточное состояние неустойчиво) системы по всем трем ее переменным: $|E|^2$, N_ϕ , N . Из состояния, в котором волна накачки сильно отражается, а N и N_ϕ малы, система переключается в пропускающее состояние для волны накачки, N резко возрастает и начинается генерация на частоте неосновной моды. Обратное переключение сопровождается гистерезисом.

Рассмотрим подробно случай (рис. 2, а) с одним стационарным состоянием. Исследуем устойчивость этого состояния. Вследствие принятых условий можно считать, что переменная E устанавливается быстро, и для описания динамики системы следует пользоваться уравнениями (1б)–(1в), а для $|E|^2$ взять стационарное выражение (2). При больших концентрациях N и N_ϕ пренебрежем также в (1б)–(1в) членами, учитывающими спонтанную рекомбинацию. Тогда вместо уравнения (3) имеем $BN = \gamma_2$ и стационарное $\bar{N} = \gamma_2/B$. С помощью \bar{N} из выражений (2) и (4) можно найти $|\bar{E}|^2$ и \bar{N}_ϕ . Линеаризуя уравнения (1б)–

(1в) вблизи стационарного состояния относительно флуктуаций ΔN , ΔN_ϕ ~ $e \exp(-\omega t)$, получаем выражение для частоты флуктуаций

$$\omega \simeq \frac{1}{2} \left(\alpha \frac{d|E|^2}{dN} \Big|_E - B |\bar{E}|^2 - B \bar{N}_\phi \right) \pm \pm \sqrt{\frac{1}{4} \left(\alpha \frac{d|E|^2}{dN} \Big|_E - B |\bar{E}|^2 - B \bar{N}_\phi \right)^2 - B^2 \bar{N} \bar{N}_\phi}. \quad (5)$$

Выражение в круглых скобках (обозначим его буквой A) с учетом (4) можно переписать в форме

$$A = \alpha \left(\frac{d|E|^2}{dN} \Big|_E - \frac{|\bar{E}|^2}{\bar{N}} \right). \quad (6)$$

Неустойчивость в системе ($\operatorname{Re} \omega > 0$) возможна только при $A > 0$, т. е. на участке достаточно крутого роста функции $|E|^2$ от N . Используя (2), запишем условие $A > 0$ в виде

$$\frac{(\Delta - \kappa \bar{N}) \times \bar{N}}{\gamma_1^2 + (\Delta - \kappa \bar{N})^2} > \frac{1}{2}. \quad (7)$$

Приведем конкретный пример выполнимости этого условия. За счет выбора параметров \bar{N} и Δ пусть $\Delta - \kappa \bar{N} = 1/3 \cdot \Delta$ и $\Delta = 3\gamma_1$, тогда слева в (7) получим единицу. Неустойчивая точка является узлом при $A^2 > B^2 \bar{N} \bar{N}_\phi$ и фокусом при обратном неравенстве.

На пороге генерации неосновной моды при $0 < B \bar{N} - \gamma_2 \ll \gamma_2$ переменную N следует считать быстрой по сравнению с N_ϕ . Тогда на фазовой плоскости (N, N_ϕ) вокруг неустойчивой стационарной точки (\bar{N}, \bar{N}_ϕ) должен существовать разрывный предельный цикл, отвечающий релаксационным автоколебаниям N , N_ϕ , $|E|^2$. Цикл показан на рис. 2, a жирной линией. Если точка (\bar{N}, \bar{N}_ϕ) устойчива, но находится вблизи области неустойчивости, возможен режим одиночных импульсов с жестким возбуждением (ждущий режим). Характерная форма импульса показана на вставке к рис. 2, a. Он описывает падение концентрации N и пропускания основной волны с последующим восстановлением этих характеристик. Соответствующие изменения претерпевает и переменная N_ϕ . Стационарная точка на рис. 2, a может оказаться и вблизи минимума немонотонной кривой. Тогда импульс будет иметь вид подъемов N , а также $|E|^2$ и N_ϕ . Длительность быстрых частей импульса $\sim \gamma_2^{-1}$, медленных — порядка $(B \bar{N} - \gamma_2)^{-1}$. Период релаксационных колебаний $\sim (B \bar{N} - \gamma_2)^{-1}$. При нежестких неравенствах, связывающих временные параметры, автоколебания могут быть и квазигармоническими. Численное моделирование системы (1) подтверждает сказанное. При $\Delta \geq 10^{11} \text{ с}^{-1}$, $\nu E_0 \sim 10^{18} \text{ см}^{-3/2} \cdot \text{с}^{-1}$, $\beta = 0.5$ и значениях остальных параметров, указанных выше, существуют релаксационные автоколебания с частотой $\omega \leq 10^9 \text{ с}^{-1}$. Переменные N и N_ϕ меняются в пределах $5 \cdot 10^{17} \text{ см}^{-3} \leq N \leq 10^{18} \text{ см}^3$, $0 \leq N_\phi \leq 5 \cdot 10^{17} \text{ см}^{-3}$. Наблюдать автоколебания и одиночные импульсы можно по пропусканию волны накачки и по генерации излучения на частоте неосновной моды. Автоколебания должны совершать также фототок, пропорциональный N , если приложить к образцу электрическое поле. Можно наблюдать также осцилляции поглощения ИК или СВЧ излучения на свободных носителях. При резонансной модуляции интенсивности накачки в системе возможны различные эффекты, хорошо известные в автогенераторах под действием периодической силы. Если не пренебречь запаздыванием переменной E , система уравнений (1) в принципе может описывать и хаотические автоколебательные режимы.

Вместо формулы (2) для $|E|^2$ можно воспользоваться более общим выражением для интенсивности света внутри интерферометра [5]

$$|E|^2 = \frac{(1-R)[1-\exp(-\alpha_0 d)][1+R\exp(-\alpha_0 d)]}{1+R^2\exp(-2\alpha_0 d)-2R\exp(-\alpha_0 d)\cos(4\pi nd/\lambda)} E_0^2, \quad (8)$$

где R — коэффициент отражения на границах интерферометра; d — толщина образца вдоль оси z ; n и α_0 — показатель преломления и коэффициент поглощения материала интерферометра. При этом на фазовой плоскости (N , N_ϕ) немонотонная кривая будет иметь много пиков, отвечающих различным порядкам интерференции. Пересечение этой кривой с монотонной кривой может дать большое число особых точек. Тогда в одних участках фазовой плоскости система может вести себя как триггерная или мультистабильная, в других — как автоколебательная, причем возможны переключения не только между устойчивыми состояниями, но и между устойчивыми и колебательными.

4. Учет диффузационного члена в уравнении (1в) приводит к тому, что локальное импульсное возбуждение в ждущем режиме, указанное выше, становится бегущим вследствие эстафетной передачи возмущения от точки к точке вдоль оси x . Такое уединенное автоволновое возбуждение — импульс нейристорного типа — хорошо известно [6]. Ширина его переднего и заднего фронтов в нашем случае порядка L_N . Общая ширина импульса $\mathcal{L} \geq L_N$. Скорость импульса можно грубо оценить как $u \sim \mathcal{L} (B\bar{N} - \gamma_2)$. Принимая $\mathcal{L} \sim 10^{-3}$ см, $(B\bar{N} - \gamma_2) \sim \sim 10^9$ см \cdot с $^{-1}$, находим $u \sim 10^6$ см \cdot с $^{-1}$. Запуск бегущего импульса осуществляется, например, локальным изменением интенсивности накачки. При столкновении двух нейристорных импульсов, бегущих навстречу друг другу, происходит их аннигиляция.

Появление в резонаторе концентрационной неоднородности вдоль оси x вызывает неоднородное изменение показателя преломления Δn и искажения фазы стоячей волны $\Delta \varphi \sim (4\pi/\lambda) \Delta n \mathcal{L}$. Для переключения интерферометра под действием волны накачки требуется выполнение условия $(4\pi/\lambda) \Delta n d \geq \pi$. Если \mathcal{L} существенно меньше d , неоднородность $\Delta \varphi$ слабо искажает моды колебаний вдоль оси x . Подчеркнем также, что дифракция волны накачки на неоднородности бегущего импульса, как и диффузия, способствует передаче возбуждения от точки к точке. Это обстоятельство отмечалось при рассмотрении волн переключения в нелинейных интерферометрах [7].

Вопрос о возможности распространения триггерных волн переключения вдоль оси x в рассматриваемой системе остается открытым. В самом деле при этом в $\Delta \varphi$ вместо \mathcal{L} войдет величина L , которая меняется в процессе распространения волны и увеличения переключенной области. Предельное значение L порядка размера резонатора вдоль оси x . Если потребовать, чтобы длина резонатора была существенно больше фронта переключения, то возникающее $\Delta \varphi$ оказывается большим и существенно влияет на моды колебаний вдоль оси x . Поэтому задача о распространении фронта переключения в нашем случае требует другого рассмотрения, нежели в более простых бистабильных и мультистабильных системах с концентрационными и (или) тепловыми нелинейностями, где такие волны в поперечном лучу накачки направлений уже хорошо известны [7-11].

В заключение укажем на возможность существования автоволновых процессов, в частности бегущих импульсов нейристорного типа, в полупроводниковых инжекционных лазерах. Для уяснения такой возможности следует распространить результаты работы [4], в которой численно исследованы однородные концентрационно-оптические автоколебания в лазерах с дополнительным внешним возбуждением одной из мод, на распределенный случай и учесть диффузию частиц. Должна быть выбрана также геометрия, аналогичная рис. 1, когда кроме обычных зеркал на торцах лазера имеются зеркала вдоль инжектирующего электрода и дополнительная подсветка осуществляется в направлении, перпендикулярном этим зеркалам. В релаксационном ждущем режиме однородной системы с учетом диффузии должны реализовываться бегущие импульсы примерно с теми же параметрами, что и рассмотренные выше.

Литература

[1] Adams M. J., Westlake H. J., O'Mahony M. J., Henning J. D. IEEE J. Quantum Electronics, 1986, v. QE-21, N 9, p. 1498—1504.

[2] Jewell J. L., Gibbs H. M., Tarn S. S. et al. Appl. Phys. Lett., 1982, v. 40, N 4, p. 291—293.

- [3] Балкаре́й Ю. И., Григорья́нц А. В., Ржано́в Ю. А. Квант. электр., 1987, т. 14, № 1, с. 127—134.
- [4] Lang R. IEEE J. Quantum Electronics, 1982, v. QE-18, N 6, p. 976—983.
- [5] Merz J. L., Logan R. A., Sergent A. M. J. Appl. Phys., 1976, v. 47, N 4, p. 1436—1456.
- [6] Скотт Э. Волны в активных и нелинейных средах в приложении к электронике. М.: Сов. радио, 1977. 368 с.
- [7] Розанов Н. Н. ЖЭТФ, 1981, т. 80, № 1, с. 96—108.
- [8] Розанов Н. Н., Семенов В. Е., Ходова Г. В. Квант. электр., 1982, т. 9, № 2, с. 354—360.
- [9] Григорья́нц А. В., Голик Л. Л., Елинсон М. И., Балкаре́й Ю. И. Квант. электр., 1983, т. 10, № 8, с. 1714—1716.
- [10] Golik L. L., Grigoryants A. V., Elinson M. J., Balkarei Yu. J. Opt. Communs., 1983, v. 46, N 1, p. 51—56.
- [11] Григорья́нц А. В., Голик Л. Л., Ржано́в Ю. А. и др. Квант. электр., 1984, т. 11, № 5, с. 1060—1065.

Институт радиотехники и электроники
АН СССР
Москва

Поступило в Редакцию
3 июля 1987 г.